

New energy functional for heavy nuclei / Nouvelle fonctionnelle de la densité d'énergie pour les noyaux lourds

Michael Bender

Institut de Physique des 2 Infinis de Lyon
CNRS/IN2P3 & Université de Lyon & Université Lyon 1
F-69622 Villeurbanne, France

AG de l'IP2I
Villeurbanne, 7 Novembre 2019



Participants

- Michael Bender (DR2 CNRS)
- Karim Bennaceur (MC UCBL1)
- Dany Davesne (Pr UCBL1)
- N. N. (postdoc)

C'est qui?

Participants

- Michael Bender (DR2 CNRS)
- Karim Bennaceur (MC UCBL1)
- Dany Davesne (Pr UCBL1)
- N. N. (postdoc)

en collaboration avec (sur leurs fonds propres)

- Jacek Dobaczewski (Pr, York)
- Alessandro Pastore (Lect, York)
- Wouter Ryssens (postdoc, Yale)

Participants

- Michael Bender (DR2 CNRS)
- Karim Bennaceur (MC UCBL1)
- Dany Davesne (Pr UCBL1)
- N. N. (postdoc)

en collaboration avec (sur leurs fonds propres)

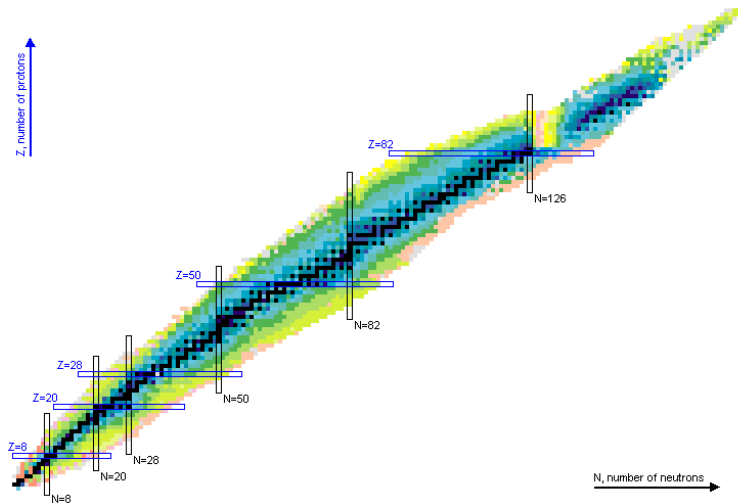
- Jacek Dobaczewski (Pr, York)
- Alessandro Pastore (Lect, York)
- Wouter Ryssens (postdoc, Yale)

A la recherche du temps perdu:

- AAPG 2008 "SQUASE" – Spectroscopic quality Skyrme energy density functional (CENBG + IPNL + CEA Saclay) pas accepté
- AAPG 2009 "NESQ" – Nuclear Energy density functional of Spectroscopic Quality / Fonctionnelle de la densité d'énergie pour la spectroscopie nucléaire (CENBG + IPNL + CEA Saclay) pas accepté
- AAPG 2010 "NESQ" – Nuclear Energy density functional of Spectroscopic Quality / Fonctionnelle de la densité d'énergie pour la spectroscopie nucléaire (CENBG + IPNL + CEA Saclay) accepté!
- AAPG 2017 "SHEET" – SuperHeavy Elements - Experiment and Theory / Éléments superlourds - expérience et théorie (IPNL + GANIL + CEA Saclay) pas accepté
- AAPG 2018 "NEWFUN" – New energy functional for heavy nuclei / Nouvelle fonctionnelle de la densité d'énergie pour les noyaux lourds (IP2I) accepté!

Où trouve-t-on des noyaux super-lourds?

<https://www.nndc.bnl.gov/nudat2/>

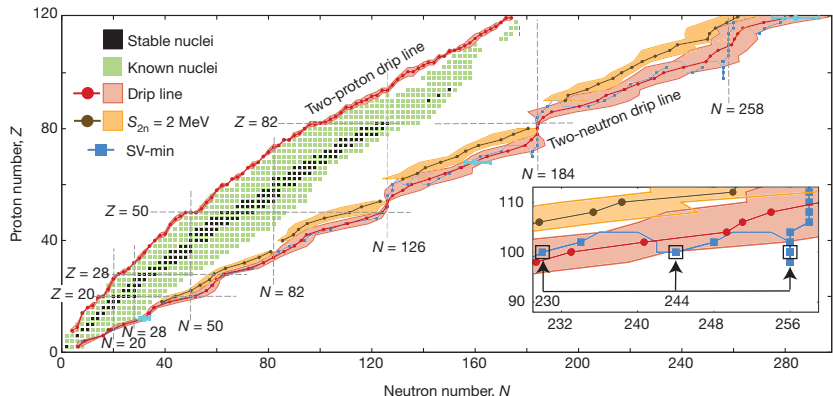


- isotope: même Z , N différent
- isotone: même N , Z différent

- isobar: même $A = N + Z$, $T_3 = N - Z$ différent
- isodiaphers: même $T_3 = N - Z$, A différent

Où trouve-t-on des noyaux super-lourds?

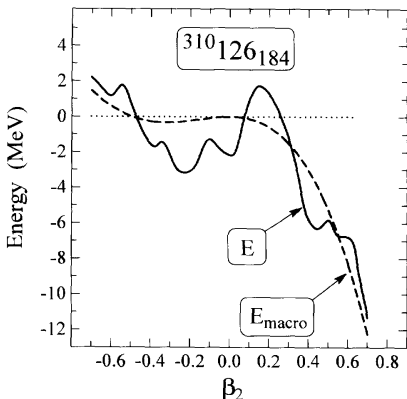
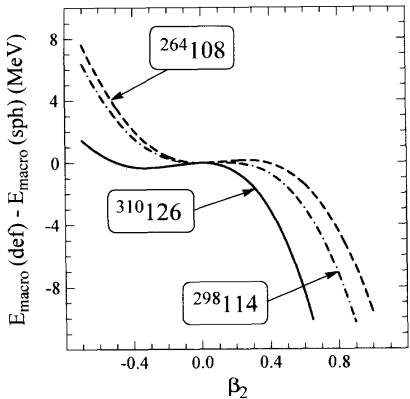
Erler et al, Nature 486 (2012) 509



- **isotope:** même Z , N différent
- **isotone:** même N , Z différent
- **isobar:** même $A = N + Z$, $T_3 = N - Z$ différent
- **isodiaphers:** même $T_3 = N - Z$, A différent

C'est quoi, un noyau super-lourd?

Cwiok et al, NPA 611 (1996) 211



- compétition entre tension de surface et répulsion Coulombienne. Coulomb gagne pour $Z \simeq 100$
- stabilisation par des "effets de couches"
- îlot de stabilité?

Ce sont aussi les plus lourds éléments chimiques

https://iupac.org/wp-content/uploads/2018/12/IUPAC_Periodic_Table-01Dec18.jpg

1 H hydrogen 1.007 [1.0070, 1.0082]	2 He helium 4.00 [4.00, 4.0077]	18 He helium 4.0026
3 Li lithium 6.94 [6.93, 6.967]	4 Be beryllium 9.0122	
11 Na sodium 22.99 [24.304, 24.307]	12 Mg magnesium 24.33 [24.304, 24.307]	
19 K potassium 39.098 [40.770(4)]	20 Ca calcium 40.096 [44.956]	21 Sc scandium 44.956 [47.867]
37 Rb rubidium 85.448 [88.906]	38 Sr strontium 87.62 [88.906]	39 Y yttrium 91.224(2) [92.906]
55 Cs cesium 132.91 [137.33]	56 Ba barium 137.33 [178.46(2)]	57-71 lanthanoids [180.95]
87 Fr francium 223.04	88-103 actinoids [radium]	72 Hf hafnium 183.84 [186.21]
	104 Rf rutherfordium 231.04	73 Ta tantalum 183.84 [186.21]
	105 Db dubnium 231.04	74 W tungsten 186.21 [190.23(2)]
	106 Sg seaborgium 231.04	75 Re rhenium 186.21 [190.23(2)]
	107 Bh bohrium 231.04	76 Os osmium 190.22 [196.08]
	108 Hs hsasium 231.04	77 Ir iridium 196.08 [196.97]
	109 Mt meitnerium 231.04	78 Pt platinum 196.97 [200.59]
	110 Ds darmstadtium 231.04	79 Au gold 196.97 [204.38, 204.38]
	111 Rg roentgenium 231.04	80 Hg mercury 196.97 [207.2]
	112 Cn copernicium 231.04	81 Tl thallium 200.59 [208.88]
	113 Nh nihonium 231.04	82 Pb lead 200.59 [208.88]
	114 Fl florium 231.04	83 Bi bismuth 207.2 [208.88]
	115 Mc moscovium 231.04	84 Po polonium 207.2 [208.88]
	116 Lv Livermorium 231.04	85 At astatine 208.88 [210.88]
	117 Ts tennessine 231.04	86 Rn radon 210.88 [211.88]
	118 Og oganezirconium 231.04	71 Lu lutetium 211.88 [217.07]



INTERNATIONAL UNION
OF
PURE AND APPLIED CHEMISTRY

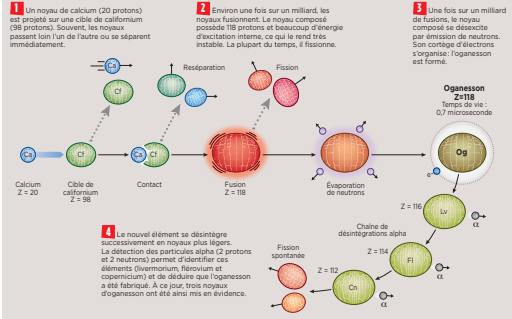
57 La lanthanum 138.91 [138.91]	58 Ce cerium 140.12 [140.12]	59 Pr praseodymium 141.01 [141.01]	60 Nd neodymium 144.24 [144.24]	61 Pm promethium 147.06(2) [147.06(2)]	62 Sm semanium 150.36(2) [150.36(2)]	63 Eu europium 151.96 [151.96]	64 Gd gadolinium 157.25(2) [157.25(2)]	65 Tb terbium 158.93 [158.93]	66 Dy dysprosium 162.50 [162.50]	67 Ho holmium 164.93 [164.93]	68 Er erbium 167.26 [167.26]	69 Tm thulium 168.93 [168.93]	70 Yb ytterbium 173.05 [173.05]	71 Lu lutetium 174.07 [174.07]
89 Ac actinium 223.04 [231.04]	90 Th thorium 231.04 [231.04]	91 Pa protactinium 231.04 [231.04]	92 U uranium 238.03 [238.03]	93 Np neptunium 238.03 [238.03]	94 Pu plutonium 239.03 [239.03]	95 Am americium 243.03 [243.03]	96 Cm curium 247.03 [247.03]	97 Bk berkelium 247.03 [247.03]	98 Cf californium 251.03 [251.03]	99 Es eserium 252.03 [252.03]	100 Fm fermium 257.03 [257.03]	101 Md mendelevium 258.03 [258.03]	102 No nobelium 259.03 [259.03]	103 Lr lawrencium 260.03 [260.03]

For notes and updates to this table, see www.iupac.org. This version is dated 1 December 2018.
Copyright © 2018 IUPAC, the International Union of Pure and Applied Chemistry.

Que savons nous des noyaux super-lourds?

A. Drouart & M. Bender, La Recherche mensuel No 524 daté juin 2017, pages 44-50

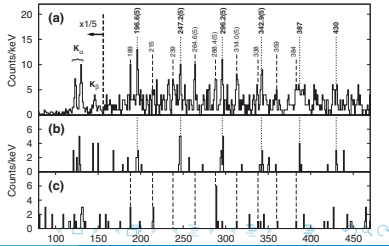
Fig. 1 Synthèse de l'oganesson: un défi expérimental



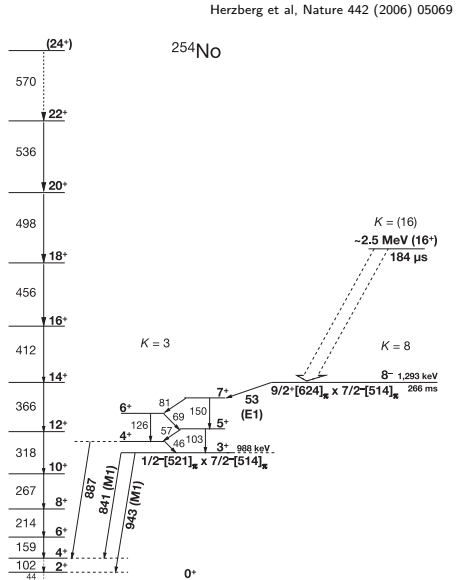
- taux de production très petits

- spéctroscopie prompte (rayons γ , e^- de conversion, rayons X)
- spéctroscopie de décroissance après implantation (rayons α , β , γ , fission)
- spéctroscopie laser (distribution de charge et de magnétisation dans le noyau sondé par les e^- atomiques)
- mesures de masse

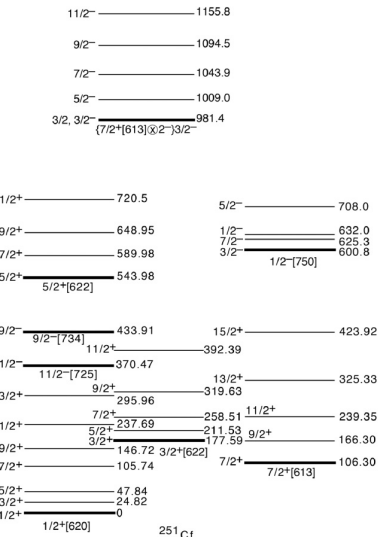
Ketelhut et al, PRL 102 (2009) 212501



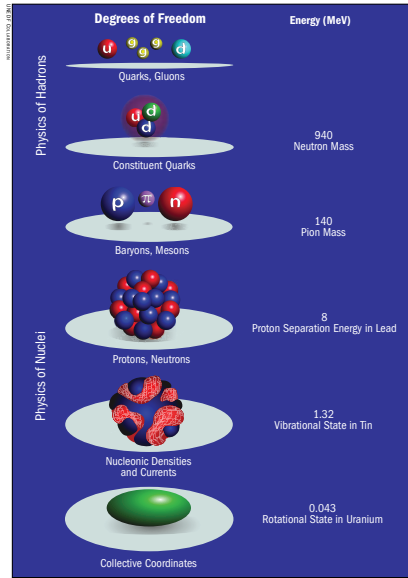
Systèmes complèxes



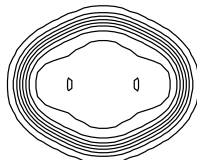
Ahmad et al, PRC72 (2005) 054308



Où commencer si on veut modéliser des noyaux (lourds)?

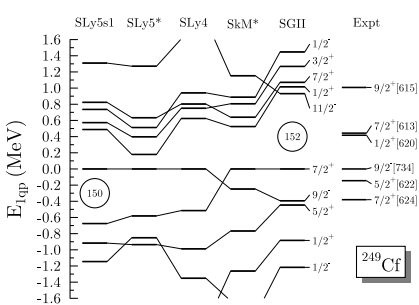
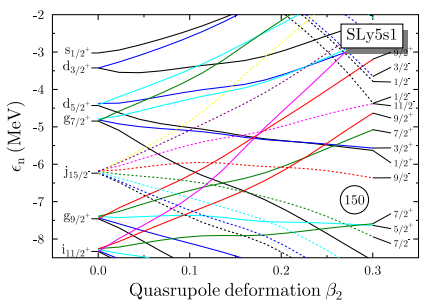


- hiérarchie des phénomènes émergents à plusieurs niveaux
- "degrés de liberté" utiles pour décrire des phénomènes à basse énergie d'excitation
 - occupations des niveaux dans les spectres des particules à un corps
 - densités à une particule des neutrons et protons
 - "déformation"
 - ...



distribution de densité (calculé) du ^{240}Pu dans son référentiel intinsèque

Structure en couches déformé ...

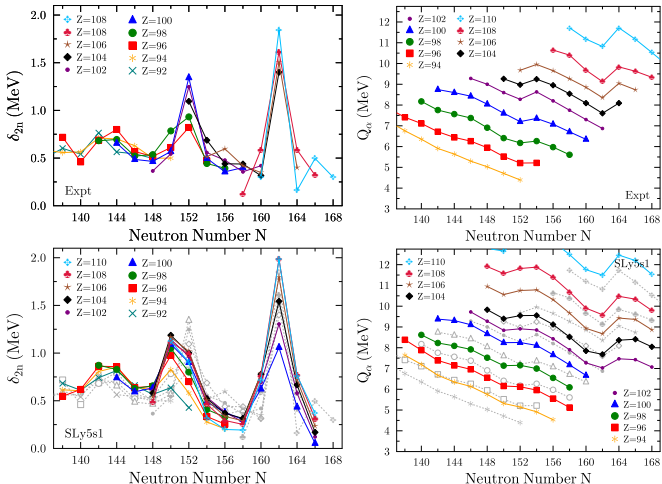


Bender et al, to be published

- gauche: énergies des particules individuels dans le modèle (qui sont non-observable)
- droite: énergies de séparation de neutron entre le système à N corps et le système à $N-1$ corps (multiplié avec -1 pour au cas de séparation d'un neutron occupé)

... et son impact sur des observables

Bender et al, to be published

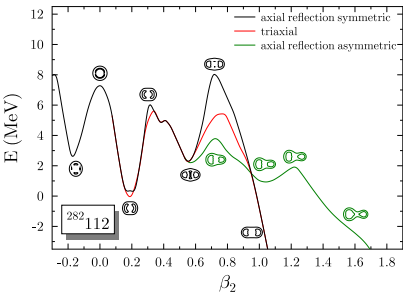
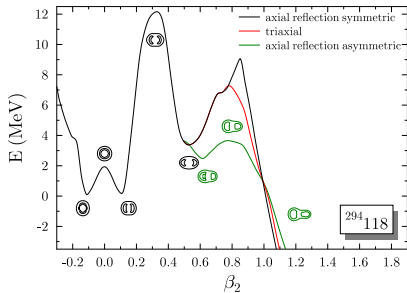


$$\delta_{2n}(N, Z) \equiv E(Z, N - 2) - 2E(N, Z) + E(Z, N + 2)$$

$$Q_\alpha(N, Z) \equiv E(Z, N) - E(Z - 2, N - 2) - E(2, 2)$$

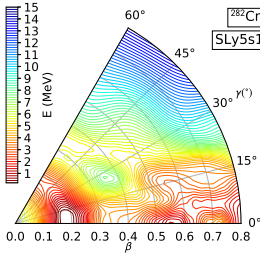
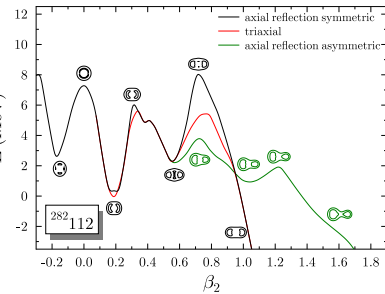
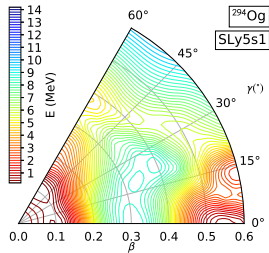
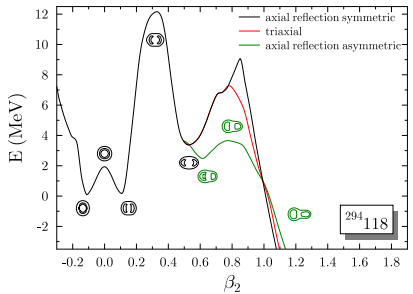
Barrières de fission

Bender & Heenen, unpublished

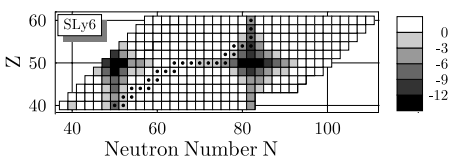
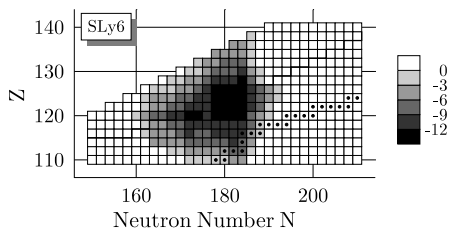
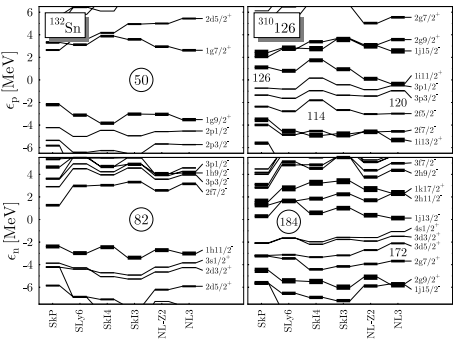
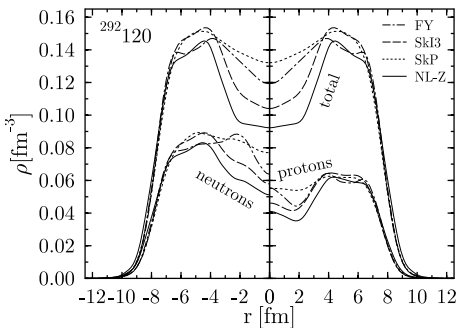


Barrières de fission

Bender & Heenen, unpublished



Particularités des noyaux super-lourds: Frustration Coulombienne et grande densité des niveaux



Bender & Heenen, J. Phys. Conf. Ser. 420 (2013) 012002

Une "vielle" fonctionnelle de la densité d'énergie

$$\mathcal{E} = \mathcal{E}_{\text{kin}} + \mathcal{E}_{\text{Skyrme}} + \mathcal{E}_{\text{Coul}} + \mathcal{E}_{\text{pair}} + \mathcal{E}_{\text{corr}}$$

$$\begin{aligned}\mathcal{E}_{\text{Skyrme}} = & \int d^3 r \sum_{t=0,1} \sum_{t_3=-t}^{+t} \left\{ C_t^{\rho\rho} [\rho_0] \rho_{tt_3} \rho_{t-t_3} + C_t^{\rho\tau} (\rho_{tt_3} \tau_{t-t_3} - \mathbf{j}_{tt_3} \cdot \mathbf{j}_{t-t_3}) \right. \\ & + C_t^{\rho\Delta\rho} \rho_{tt_3} \Delta \rho_{t-t_3} + C_t^{ss} [\rho_0] \mathbf{s}_{tt_3} \cdot \mathbf{s}_{t-t_3} + C_t^{s\Delta s} \mathbf{s}_{tt_3} \cdot \Delta \mathbf{s}_{t-t_3} \\ & + C_t^{sT} \left(\mathbf{s}_{tt_3} \cdot \mathbf{T}_{t-t_3} - \sum_{\mu,\nu=x,y,z} \mathbf{J}_{\mu\nu;tt_3} \mathbf{J}_{\mu\nu;t-t_3} \right) \\ & + C_t^{\rho\nabla J} (\rho_{tt_3} \nabla \cdot \mathbf{J}_{t-t_3} + \mathbf{s}_{tt_3} \cdot \nabla \times \mathbf{j}_{t-t_3}) \\ & + C_t^{sF} \left(\mathbf{s}_{tt_3} \cdot \mathbf{F}_{t-t_3} - \frac{1}{2} \sum_{\mu,\nu=x,y,z} \mathbf{J}_{\mu\nu;tt_3} \mathbf{J}_{\nu\mu;t-t_3} - \frac{1}{2} \sum_{\mu,\nu=x,y,z} \mathbf{J}_{\mu\mu;tt_3} \mathbf{J}_{\nu\nu;t-t_3} \right) \\ & \left. + C_t^{\nabla s \nabla s} (\nabla \cdot \mathbf{s}_{tt_3}) (\nabla \cdot \mathbf{s}_{t-t_3}) \right\}\end{aligned}$$

Merci de votre attention.